## 1\_ PREMESSA

Il tema progettuale riguarda lo sviluppo di un'analisi dinamica a spettro di risposta di un edificio situato a Bari.

Le verifiche strutturali saranno effettuate secondo le disposizioni dettate dalle NTC 08.

L'edificio è collocato in zona a bassa sismicità nel comune di Bari. La progettazione è stata eseguita adottando la classe di duttilità B (bassa duttilità).

Per il calcolo delle sollecitazioni è stata utilizzata un'analisi lineare dinamica a spettro di risposta.

La regolarità dell'immobile sia in pianta che in alzato, lo rende particolarmente idoneo alla progettazione in zona sismica. La struttura portante è costituita da un telaio tridimensionale in calcestruzzo armato gettato in opera, composto da elementi monodimensionali verticali (pilastri) e orizzontali (travi).

## 2 DATI GEOMETRICI ED ORGANIZZAZIONE STRUTTURALE

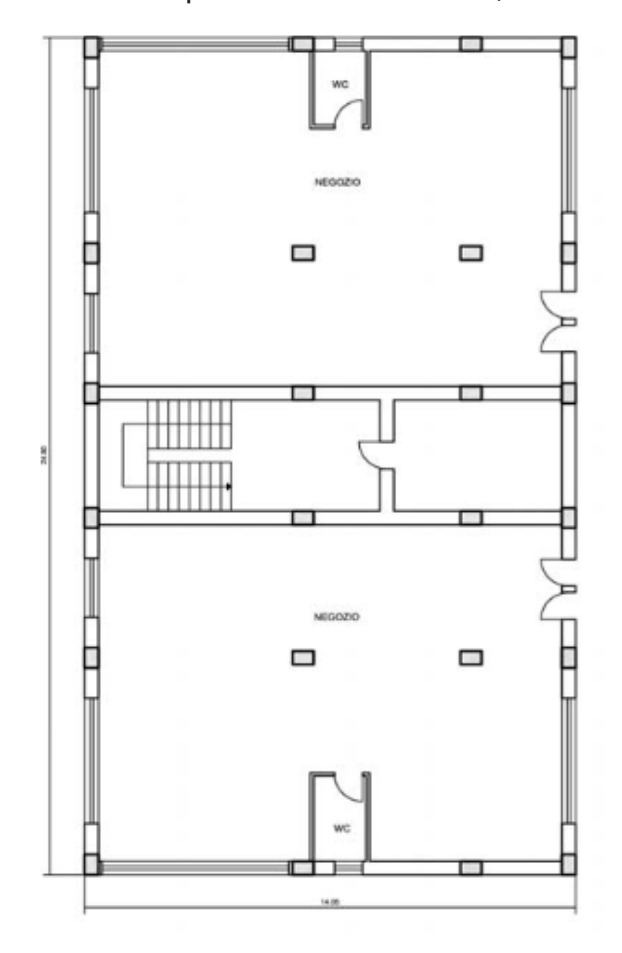
La struttura è un edificio multipiano a destinazione mista.

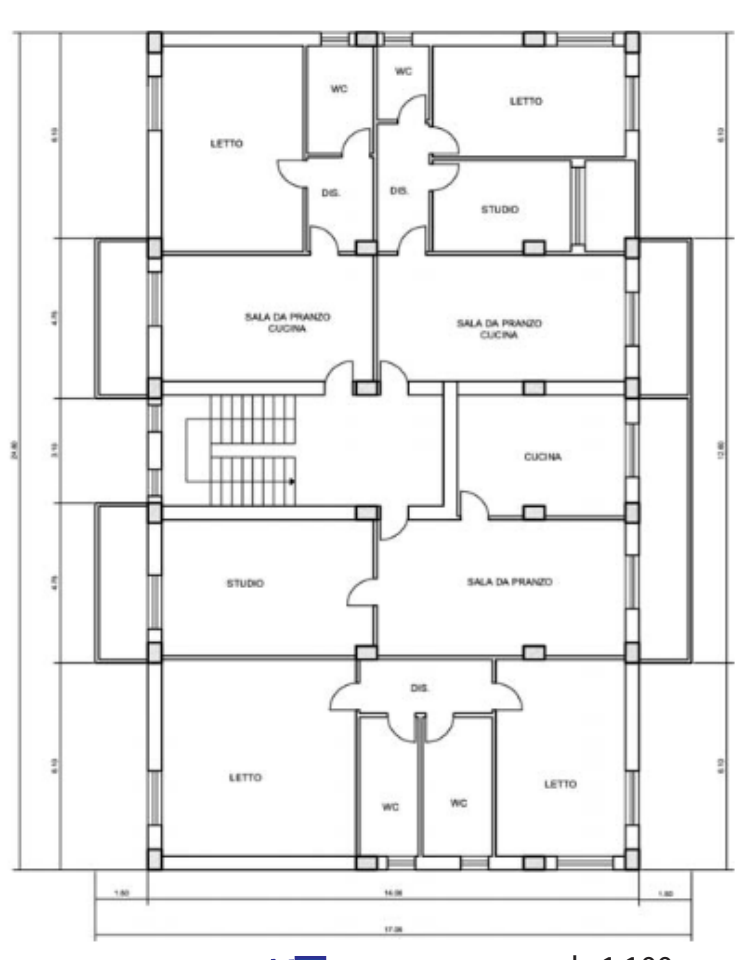
Il piano terra è destinato alle attività commerciali, i restanti piani sono adibiti ad uso residenziale, la copertura è piana e praticabile.

Dal piano terra di accede al vano scala, il quale è costituito da rampre realizzate mediante sistema di trave a ginocchio.

L'edificio soddisfa i requisiti più importanti della progettazione in zona sismica, ovvero semplicità strutturale, uniformità e simmetria. Il fabbricato può considerarsi inscritto in un rettangolo di dimensioni 17,05 m \* 21,80 m e si sviluppa in altezza per 4 livelli.

L'edificio complessivamente è alto 12,65 m.

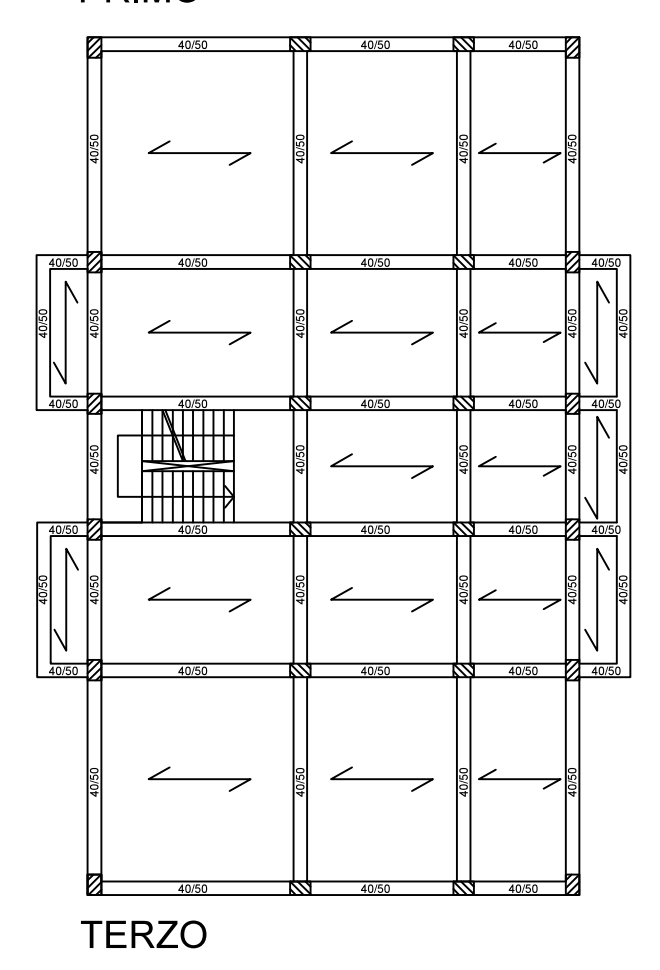


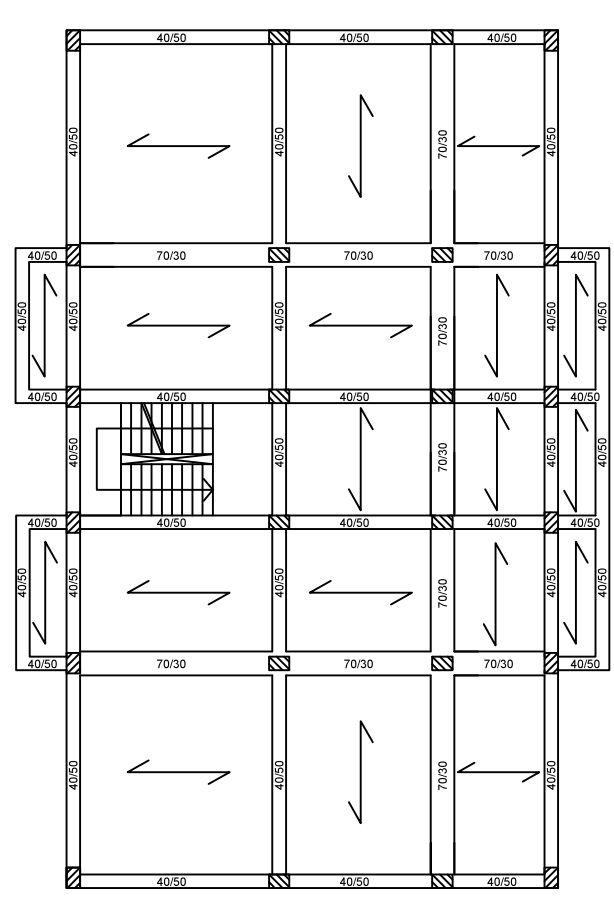


scala 1:100

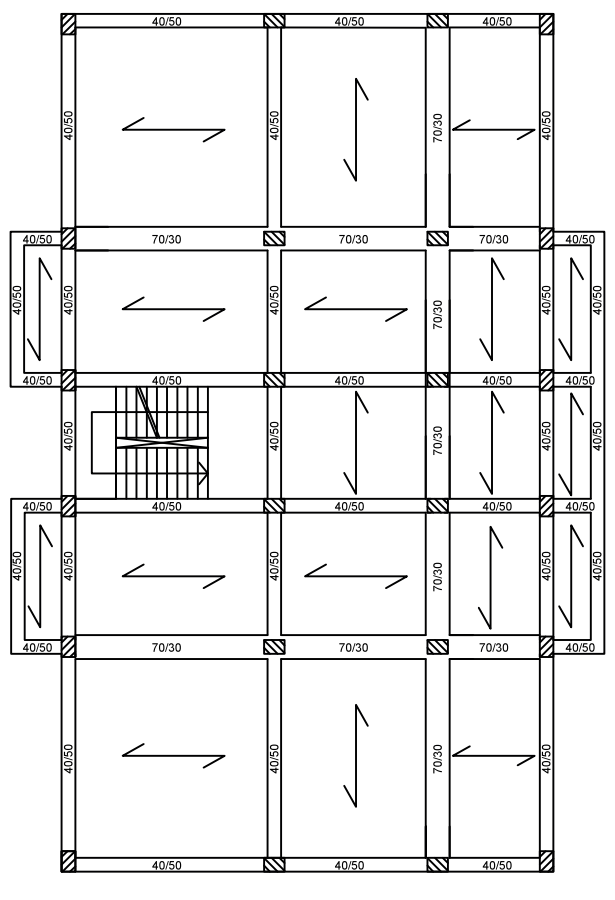
## CARPENTERIE IMPALCATI PRIMO

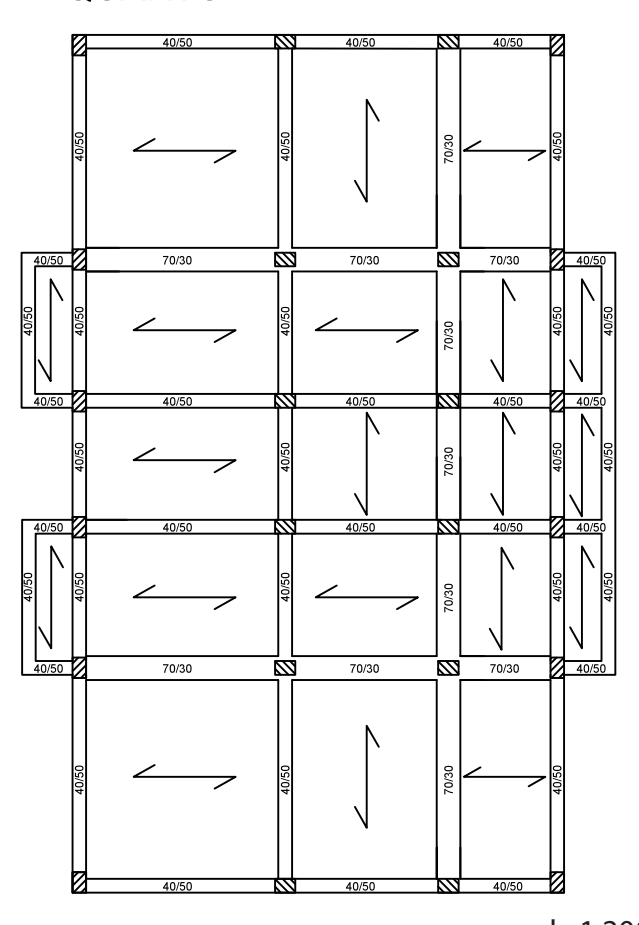
## **SECONDO**





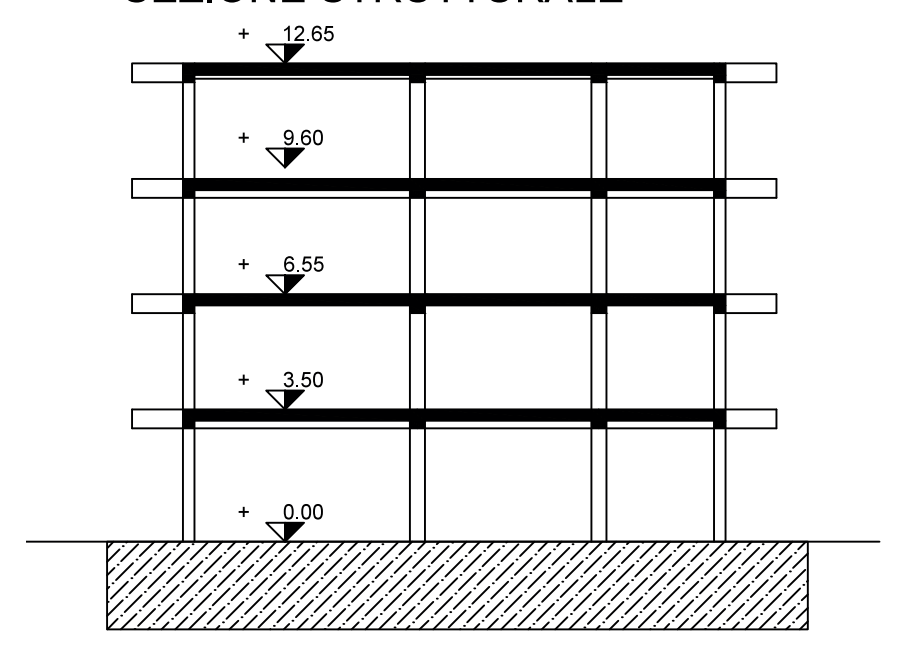
**QUARTO** 



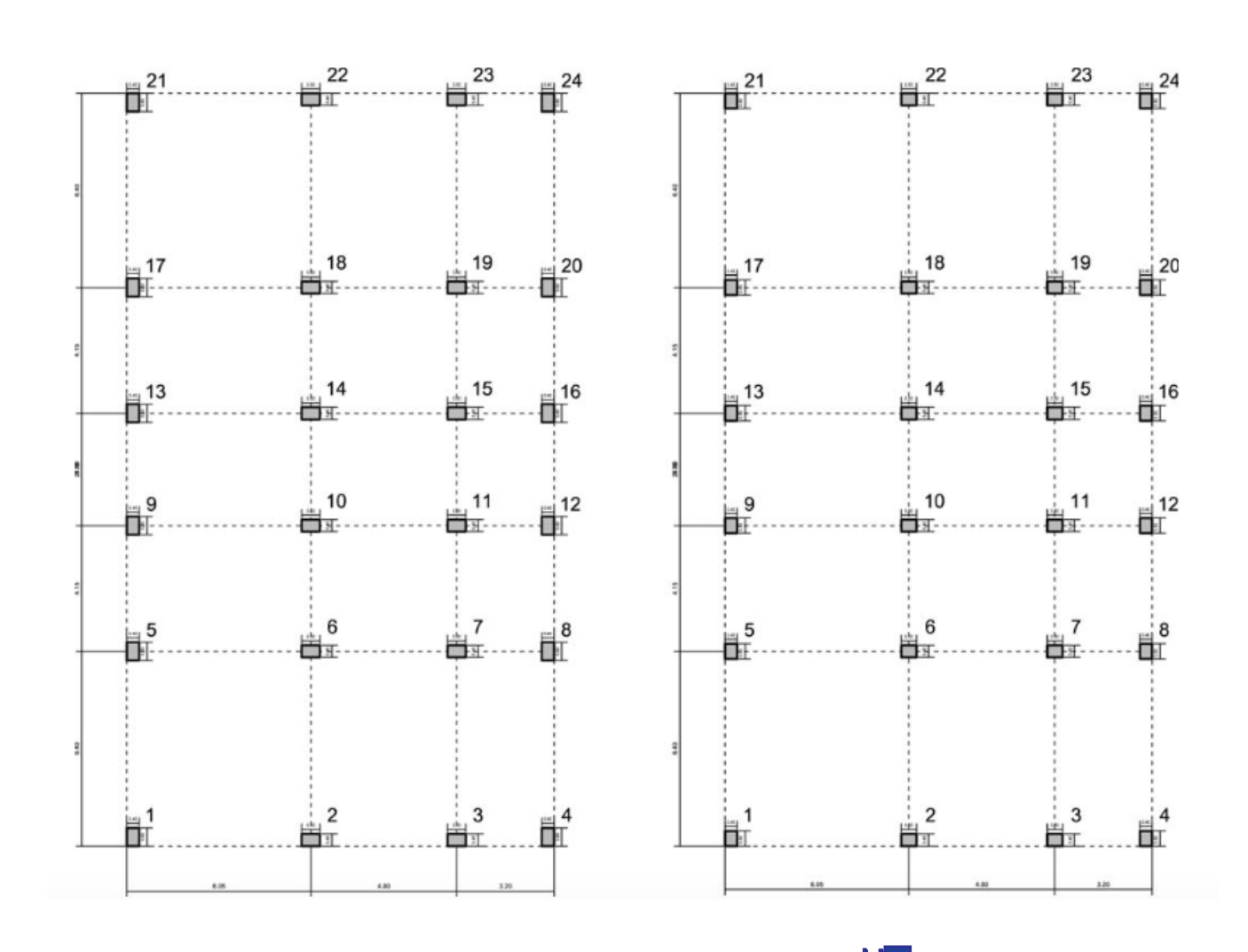


scala 1:200

## SEZIONE STRUTTURALE



### PIANTA DI TRACCIAMENTO DEI PILASTRI AL 1° E 2° IMPALCATO (SX)



## CALCOLO DEI CARICHI UNITARI GRAVITAZIONALI

Solaio 1 (locali abitazione) s= 30 cm	Spessore (cm)	KN/mq
Peso proprio del solaio (carico permanente G1)		4
Intonaco intradosso (s=1,5 cm)	1,5	0,3
Massetto in malta di cemento (s=4cm)	4	0,84
Pavimento in gr s (s=2cm)	2	0,4
Incidenza tramezzi		1,6
TOT carico permanente non strutturale G2		3,14
TOT azioni variabili Qk		2

Wsolaio= G1, solaio +G2, solaio+ Ψ2*Q solaio	7,74

Solaio 2 (balconi abitazione) s= 30 cm	Spessore (cm)	KN/mq
Peso proprio del solaio (carico permanente G1)		4
Intonaco intradosso (s=1,5 cm)	1,5	0,3
Massetto in malta di cemento (s=5 cm)	5	1,05
Pavimento in gr s (s=2cm)	2	0,4
Incidenza tramezzi		1,6
TOT carico permanente non strutturale G2		3,35
TOT azioni variabili Qk		2

# Wbalcone= G1, balcone +G2, balcone+ Ψ2\*Q balcone 8,25

Solaio 3 (copertura) s= 30 cm	Spessore (cm)	KN/mq
Peso proprio del solaio (carico permanente G1)		4
Intonaco intradosso (s=1,5 cm)	1,5	0,3
Massetto pend. in cls alleggerito (s=15cm)	15	1,8
Pavimento (s=2cm)	2	0,4
Manto impermeabile prefabbricato+isolante		0,2
TOT carico permanente non strutturale G2		2,7
TOT azioni variabili Qk		2

Wcopertura= G1, copertura +G2,copertura+ Ψ2*O copertura	6.7
Wcopertura = G1, copertura +G2,copertura + Ψ2*Q copertura	0,7
	,

Rampa scale	Spessore (cm)	KN/mq
Peso proprio della rampa (carico permanente G1)		4,6
Intonaco intradosso (s=1,5 cm)	1,5	0,3
Massetto in malta di cemento (s=4cm)	4	0,84
Pedata e alzata in marmo (s=3cm)	3	1,21
TOT carico permanente non strutturale G2		2,35
TOT azioni variabili Qk		4

Wscala= G1, scala +G2,scala+ Ψ2*Q scala 9,35
--



					L		**	۰	ز	C2 linearizzato OV	
Trave		Sezione		Area influenza		Totale	<u>.</u>	G1 lineari			Uk IIneari
	E	В	H	bw	bw	md	KN/mq	KN/m	KN/mg	KN/m	KN/mg KN/m
ASSE X											
1-5	6,4	40	20	19,36		19,36	4		4	9,4985	
2-9	4,15	40	20	12,55	6,225	18,775	4	18,09638554	4	14,20566265	2 9,04819277
9-13	3,7	40	50			0	4	0	3,14	0	
13-17	4,15	40	50	12,55	6,225	18,775	4	18,09638554	4	14,20566265	2 9,04819277
17-21	6,4	40	20	19,36		19,36	4		3,14	9,4985	
2-6	6,4	40	20	19,36	15,36	34,72	4		3,14	17,0345	_
6-10	4,15	40	50	12,55	96,6	22,51	4	21,6963		17,03166265	10,848
10-14	3,7	40	50	•	8,88	8,88	4	9,6	3,14	7,536	2
14-18	4,15	40	50	12,55	96,6	22,51	4	21,69638554	3,14	17,03166265	2 10,84819277
18-22	6,4	40	50	19,36	15,36	34,72	4	21,7	3,14	17,0345	2 10,85
3-7	6,4	40	50	10,24	15,36	25,6	4	16	3,14	12,56	2
7-11	4,15	40	50	6,64	96,6	16,6	4	. 16	3,14	12,56	2
11-15	3,7	40	50	5,98	8,88	14,86	4	16,06486486	3,14	12,61091892	2 8,032432432
15-19	4,15	40	50	6,64	96,6	16,6	4	16	3,14	12,56	2
19-23	6,4	40	50	10,24	15,36	25,6	4	. 16	3,14	12,56	2
4-8	6,4	40	50	10,24		10,24	4	6,4	3,14	5,024	2
8-12	4,15	40	50	6,64	6.15	12,79	4	12,327710		9,677253012	2 6,163855422
12-16	3,7	40	50	5,98	5,55	11,53	4	_		9,784918919	
16-20	4.15	40	50	6,64	6,15	12,79	4	-	4	9,677253012	2 6,163855422
20-24	6.4	40	50	10.24	5	10,24	. 4		4	5,02	2
ASSE Y											
1-2	6.05	40	05			C	7	C	3 14	O	2
2-3	4,0	40	0.5		•	) C	- 4		, K.	0 0	1 ~
3-4	3,5	40	50			0 0	. 4		. 4	0 0	1 ~
- 6	6.05	40	S C			0 0	- 4		. 6	0 0	1 0
2-9	2,0	40	0 10			0 0	- 4		. 6	0 0	1 0
7-8	., %	40	0.5			) C	- 4		, K	0 0	1 ~
9-10	6.05	40	50			0	. 4		3,7	0	2 2
10-11	4,8	40	50			0	4		3,14	0	2
11-12	3,2	40	20			0	4		3,14	0	2
13-14	6,05	40	20			0	4		3,14	0	2
14-15	4,8	40	20			0	4	0	3,14	0	2
15-16	3,2	40	50			0	4		3,14	0	2
17-18	6,05	40	50			0	4		3,14	0	2
18-19	4,8	40	50			0	4		3,14	0	2
19-20	3,2	40	20			0	4		3,14	0	2
21-22	6,05	40	20			0	4	0	3,14	0	2
22-23	4,8	40	20		_	0 (	4.		3,14	0	2
23-24	3,2	40	50			0	4	0	3,14	0	7

Trave	l IICe	Sezione		Area influenza		Totale	G1	G1 linearizzato G2	U	G2 linearizzato Ok	120	Ok linearizzato
)	E C		I	bw	md	md	KN/md		KN/md		KN/mg	KN/m
ASSE X												
1-5	6,4		20	19,36		19,36	4	12,1	3,14	9,4985		6,05
2-9	4,15		20	12,55	6,225	18,775	4	18,09638554	3,14	14,20566265	2 9,0	9,048192771
9-13	3,7		20			0	4		3,14	0		0
13-17	4,15		20	12,55	6,225	18,775	4	18,09638	3,14	14,20566265		9,048192771
17-21	6,4		20	19,36		19,36	4	12,1	3,14	9,4985	2	6,05
5-6	6,4		20			0	4		3,14	0	2	0
0-10	4,15		20	12,55	96'6	22,51	4	21,69638554	3,14	17,03166265		10,84819277
10-14	3,7		20			0	4		3,14	0		0
14-18	4,15		20	12,55	96'6	22,51	4	21,69638554	3,14	17,03166265		10,84819277
18-22	6,4		20			0	4	0	3,14	0	2	0
3-7	6,4		20	10,24	15,36	25,6	4	. 16	3,14	12,56	2	8
7-11	4,15		20			0	4	0	3,14	0	2	0
11-15	3,7	7 40	20			0	4	0	3,14	0	2	0
15-19	4,15	5 40	20			0	4	0	3,14	0	2	0
19-23	6,4	4	20		15,36	25,6	4	16	3,14	12,56	2	8
4-8	6,4	4	50	10,24		10,24	4	6,4	3,14	5,024	2	3,2
8-12	4.15	5	20			0	4		3,14	0	2	0
12-16	3,7		50			0	4	0	3,14	0	2	0
16-20	4.15		50			0	4		3,14	0	2	0
20-24	6,4		50	10,24		10,24	4	6,4	3,14	5,024	2	3,2
ASSE Y												
1-2	6,05	5 40	20			0	4	0	3,14	0	2	0
2-3	3,4	9 40	50	15,36		15,36	4	12,8	3,14	10,048	2	6,4
3-4	3,5	40	50			0	4		3,14	0	2	0
2-6	6,0	5 40	50			0	4	0	3,14	0	2	0
2-9	3,4		20	15,36		15,36	4	12,8	3,14	10,048	2	6,4
2-8	3,5		20		9,75	9,75	4	12,1875	3,14	9,5671875	2	6,09375
9-10	10,9		20			0	4		3,14	0	2	0
10-11	4,4		20	8,88		8,88	4		3,14	2,809	2	3,7
11-12	3,5		20	9,75	8,695	18,445	4	23,05625	3,14	18,09915625	2	11,528125
13-14	10,9		20			0	4	0	3,14	0	2	0
14-15			20	8,88		8,88	4		3,14	5,809	2	3,7
15-16	3,5		20	8,695	9,75	18,445	4	23,05625	3,14	18,09915625	2	11,528125
17-18	90,9		20			0	4		3,14	0	2	0
18-19	4,5		20	15,36		15,36	4		3,14	10,048	2	6,4
19-20	3,2		50	9,75		9,75	4	12,187	3,14	9,5671875	2	6,09375
21-22	6,05		20			0	4	,	3,14	0	2	0
22-23	3,4		50	15,36		15,36	4.	12,8	3,14	10,048	2	6,4
72-74	3,6	40	20			O	4	O	3,14	O	7	O

Town	1 100	Coaico		Aron influence		Totalo Total			22		2	Ot 1:00001170
מא	Lace	Sezione B	I	Area IIIIueiiza mq	bw	md	KN/md	KN/m	GZ KN/mq	GZ IIIIEGIIZZALO QR KN/m	KN/mq	IIIIeaiii22at0 KN/m
ASSE X												
1-5	6,4		20	19,36		19,36	4	12,1	3,14	9,4985	2	6,05
2-9	4,15	40	20	12,55	6,225	18,775	4	18,09638554	3,14	14,20566265	2 9	9,048192771
9-13	3,7		20			0	4	0	3,14			0
13-17	4,15		20	12,55	6,225	18,775	4	18,09638554	3,14	14,20	-	9,048192771
17-21	6,4		20	19,36		19,36	4	12,1	3,14	9,498	2	6,05
2-6	6,4		20			0	4	0	3,14			0
6-10	4,15		20	12,55	96'6	22,51	4	21,69638554	3,14	17,03166265		10,84819277
10-14	3,7		20			0	4	0	3,14			0
14-18	4,15	40	20	12,55	96'6	22,51	4	21,69638554	3,14	17,03166265		10,84819277
18-22	6,4		20			0	4	0	3,14	0	2	0
3-7	6,4		20	10,24	15,36	25,6	4	16	3,14	12,56	2	8
7-11	4,15		20			0	4	0	3,14	0	2	0
11-15	3,7		20			0	4	0	3,14	0	2	0
15-19	4,15		20			0	4	0	3,14	0	2	0
19-23	6,4		20	10,24	15,36	25,6	4	16	3,14	12,56	2	8
4-8	6,4	40	20	10,24		10,24	4	6,4	3,14		2	3,2
8-12	4 1 5		50	•	_		4		3,14		^	C
72-16	3.7		20				. 4	0 0	3.14		. ~	C
16-20	4 15		0 5			0 0	. 4		3,14		۱ ۸	
20-24	4.9	40	0.5	10.24		10.24	- 4	6.4	41.6	5.02	1 ~	3.2
V 300 V			0	ı					6		I	_
ASSE 1					ŀ							
1-2	6,05		20			0	4	0	3,14		2	0
2-3	4,8		20	15,36		15,36	4	12,8	3,14	10,048	2	6,4
3-4	3,2		20			0	4	0	3,14	0	2	0
2-6	6,05		20			0	4	0	3,14	0	2	0
2-9	4,8		20	15,36		15,36	4	12,8	3,14		2	6,4
2-8	3,2		20		9,75	9,75	4	12,1875	3,14	9,5671875	2	6,09375
9-10	6,05		20			0	4	0	3,14		2	0
10-11	4,8		20	8,88		8,88	4	7,4	3,14		2	3,7
11-12	3,2		20	9,75	8,695	18,445	4	23,05625	3,14	18,09915625	2	11,528125
13-14	6,05		20			0	4	0	3,14	0	2	0
14-15	4,8		20	8,88		8,88	4	7,4	3,14		2	3,7
15-16	3,2		20	8,695	9,75	18,445	4	23,05625	3,14	18,09915625	2	11,528125
17-18	6,05		20			0	4	0	3,14	0	2	0
18-19	4,8		20	15,36		15,36	4	12,8	3,14		2	6,4
19-20	3,2	40	20	9,75		9,75	4	12,1875	3,14	9,567187	2	6,09375
21-22	6,05		20				4	0	3,14		2	0
22-23	4,8	40	20	15,36		15,36	4	12,8	3,14	10,04	5	6,4
23-24	3,2		20			0	4	0	3,14	0	2	0

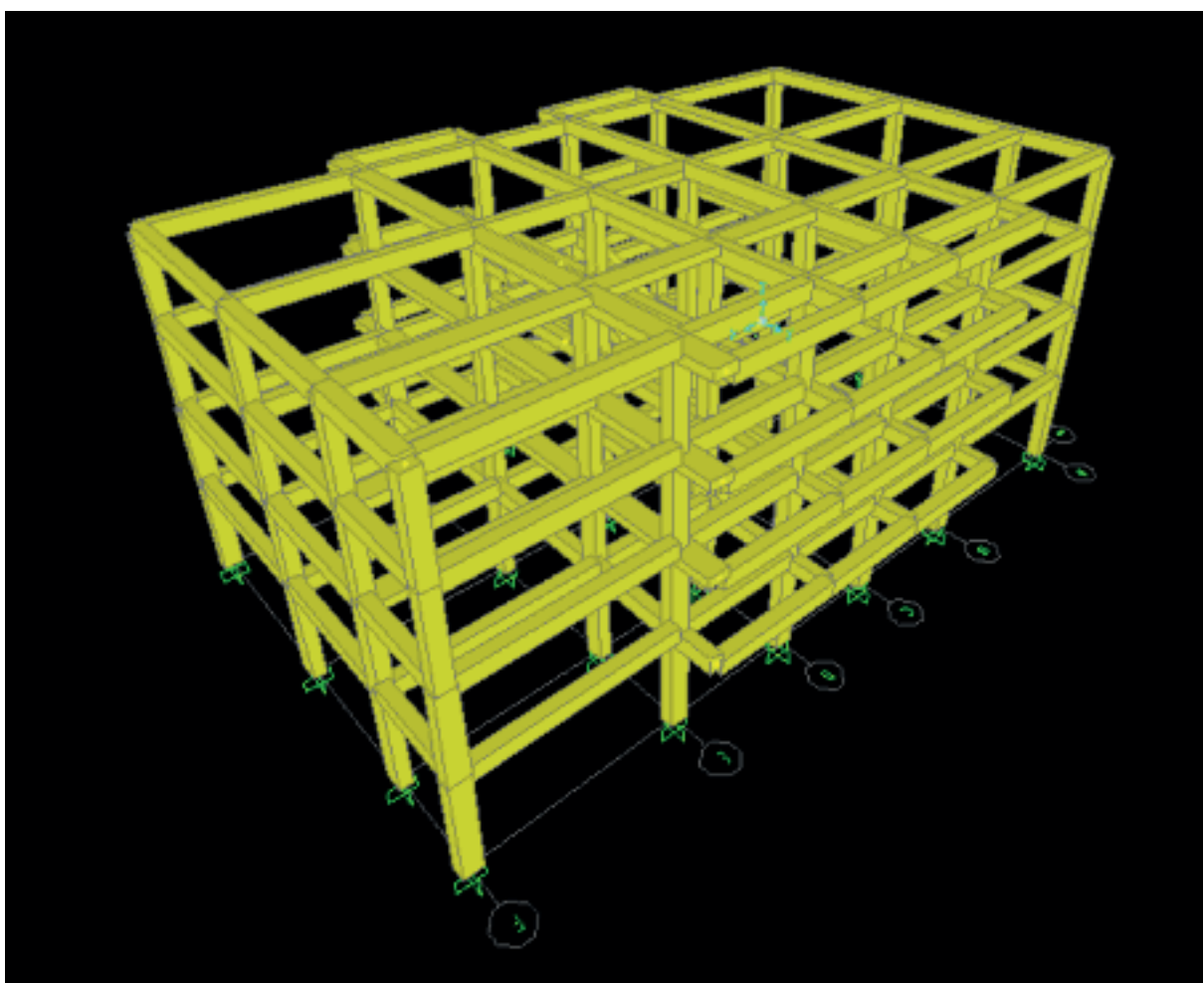
Irave	Fnce		Sezione		Area Influenza			פֿ	GI Ilneari		الالالالالالالالالالالالالالالالالالال	Qk Iineari
		Е	В	エ	bw	mq	md	KN/md	KN/m	KN/md	KN/m	KN/mg KN/m
ASSE X	-	-										
1-5	7	6,4	40	20	19,36	_	19,36	4		3,14	9,4985	
2-9	, 	4,15	40	20	12,55	6,225	18,775	4	18,09638554	3,14	14,20566265	
9-13		3,7	40	20	11,13	_	11,13	4	12,03243243	3,14	9,445459459	
13-17	_	4,15	40	20	12,55	6,225	18,775	4	18,09638554	3,14	14,20566265	2 9,048192771
17-21		6,4	40	20	19,36		19,36	4	12,1	3,14	9,4985	2 6,05
5-6		6,4	40	20			0	4	0	3,14	0	2
6-10	`  -	4,15	40	20	12,55	96'6	22,51	4	21,69638554	3,14	17,03166265	2 10,84819277
10-14	Τ	3,7	40	20	11,13		11,	4		3,14	9,445459459	
14-18	\ 	4,15	40	20	12,55	96'6		4		3,14	17,03166265	2 10,84819277
18-22	Γ	6,4	40	20				4	0	3,14	0	
3-7		6,4	40	20	10.24	15,36	25.	4	16	3,14	12.56	2
7-11	<u> </u>	4.15	40	50	•	`		4	C	3,14	C	2
11-15	Τ		40	0.5			0 0	. 4	0 0	3 , 5	C	۱ ۸
15-19	, T	7 1 7	40	20			) C	. 4		3,1	0 0	۰ ۱
10-23			2 6	) L	10.24	15.26	25	- <	, <u> </u>	. , ,	12 56	1 0
27-61	T	t	2 5	0 0	10,0	00,0		r <	- U	, ,	12,30 F 0.24	<b>7</b> C
4-0	1	, o, t	5,	00 1	10,24	_	10,24	1 .	4,°0	7,0	3,024	7
8-12	· 	4,15	40	20			0	4	0	3,14	0	2
72-16		3,7	40	20		_	0	4	0	3,14	0	2
16-20		4,15	40	20		_	0	4	0	3,14	0	2
20-24		6,4	40	20	10,24		10,24	4	6,4	3,14	5,024	2
ASSE Y												
1-2		6,05	40	50			0	4	0	3,14	0	2
2-3	Ι	8,4	40	20	15.36	_	15.36	4	12.8	3.14	10,048	2
3-4		3,2	40	20				4		3,14	0	2
2-6		6.05	40	20			0	4	0	3,14	0	2
2-9		8.4	40	20	15.36		15.36	4	12.8	3,14	10,048	2
7-8		3.2	40	20	•	9.75	9,75	4	12.1875	3,14	9.5671875	2 6.09375
9-10		6,05	40	20			0	4	0	3,14	0	
10-11		8,4	40	20	8,88		8,88	4	7,4	3,14	5,809	2
11-12		3,2	40	20	9,75	8,695	18,445	4	23,05625	3,14	18,09915625	2 11,528125
_		6,05	40	20			0	4	0	3,14	0	2
14-15		4,8	40	20	8,88		8,88	4	7,4	3,14	5,809	
15-16		3,2	40	20	8,695	9,75	18,445	4	23,05625	3,14	18,09915625	2 11,528125
17-18		6,05	40	20			0	4	0	3,14	0	2
18-19		4,8	40	20	15,36		15,36	4	12,8	3,14	10,048	
19-20		3,2	40	20	9,75		9,75	4	12,1875	3,14	9,5671875	2 6,09375
21-22	<u> </u>	6,05	40	20				4		3,14	0	2
22-23	$\neg$	4,8	40	20	15,36		15,36	4	12,8	3,14	10,048	2
23-24		3,5	40	20			0	4	0	3,14	0	~

RAMPA SCALE											
Trave	Fnce	Sezione		Area influenza		Totale G	G1	G1 linearizzato G2		G2 linearizzato Qk	Qk linearizzato
	Ш		В	H	bw	bw	KN/md	KN/m	KN/md	KN/m	KN/mq KN/m
A-Piano terra	12,1		70 3	30 22,38		22,38	4,6	8,508099174	2,35	2,35 4,346528926	4 7,398347107
B-Piano primo	10,1		70 3	30 22,38		22,38	4,6	4,6 10,19287129	2,35	5,207227723	4 8,863366337
C-Piano secondo	10,1		70 3	30 22,38		22,38	4,6	4,6 10,19287129	2,35	5,207227723	4 8,863366337

# **6\_ MODELLAZIONE STRUTTURALE**

#### **MODELLAZIONE CON SAP 2000**

La modellazione strutturale è stata definita con la il programma SAP 2000, un programma di calcolo ad elementi finiti pensato fondamentalmente per l'ingegneria civile.



Dopo aver attribuito le varie combinazioni di carico, tra cui 1 fondamentale, 2 sismiche sono state, e dopo aver caricato nel programma i rispettivi spettri di progetto prima citati secondo la NTC 08, sono state attribuite le masse sismiche.

$$M_{\rho} = M \rho^2$$

$$\rho = \sqrt{\frac{a^2 + b^2}{12}}$$

## 5 DETERMINAZIONE CARICO SISMICO DA NORMATIVA

#### **VITA NOMINALE, NTC 2.4**

La vita nominale di un'opera strutturale VN è intesa come il numero di anni nel quale la struttura, purché soggetta alla manutenzione ordinaria, deve potere essere usata per lo scopo al quale è destinata.

Tabella 2.4.I - Vita nominale V<sub>N</sub> per diversi tipi di opere

	TIPI DI COSTRUZIONE	Vita Nominale V <sub>N</sub> (in anni)
1	Opere provvisorie – Opere provvisionali - Strutture in fase costruttiva <sup>1</sup>	< 10
2	Opere ordinarie, ponti, opere infrastrutturali e dighe di dimensioni contenute o di importanza normale	≥ 50
3	Grandi opere, ponti, opere infrastrutturali e dighe di grandi dimensioni o di importanza strategica	≥ 100

#### **CLASSE D'USO**

Tab. 2.4.II - Valori del coefficiente d'uso Cu

CLASSE D'USO	I	II	III	IV	
COEFFICIENTE C <sub>U</sub>	0,7	1,0	1,5	2,0	

#### **AZIONE SISMICA, NTC 3.2**

Le azioni sismiche di progetto, in base alle quali valutare il rispetto dei diversi stati limite considerati, si definiscono a partire dalla "pericolosità sismica di base" del sito di costruzione. Essa costituisce l'elemento di conoscenza primario per la determinazione delle azioni sismiche.

La pericolosità sismica è definita in termini di accelerazione orizzontale massima attesa ag in condizioni di campo libero su sito di riferimento rigido con superficie topografica orizzontale (di categoria A quale definita al § 3.2.2), nonché di ordinate dello spettro di risposta elastico in accelerazione ad essa corrispondente Se (T), con riferimento a prefissate probabilità di eccedenza PVR, come definite nel § 3.2.1, nel periodo di riferimento VR, come definito nel § 2.4. In alternativa è ammesso l'uso di accelerogrammi, purché correttamente commisurati alla pericolosità sismica del sito.

Ai fini della presente normativa le forme spettrali sono definite, per ciascuna delle probabilità di superamento nel periodo di riferimento PVR, a partire dai valori dei seguenti parametri su sito di riferimento rigido orizzontale:

ag accelerazione orizzontale massima al sito;

F valore massimo del fattore di amplificazione dello spettro in accelerazione orizzontale. o T\* periodo di inizio del tratto a velocità costante dello spettro in accelerazione orizzontale. C In allegato alla presente norma, per tutti i siti considerati, sono forniti i valori di a ,F e T\* g o C necessari per la determinazione delle azioni sismiche.

#### STATI LIMITE E RELATIVE PROBABILITÀ DI SUPERAMENTO, NTC 3.2.1

Nei confronti delle azioni sismiche gli stati limite, sia di esercizio che ultimi, sono individuati riferendosi alle prestazioni della costruzione nel suo complesso, includendo gli elementi strutturali, quelli non strutturali e gli impianti.

Gli stati limite di esercizio sono:

- Stato Limite di Operatività (SLO): a seguito del terremoto la costruzione nel suo complesso, includendo gli elementi strutturali, quelli non strutturali, le apparecchiature rilevanti alla sua funzione, non deve subire danni ed interruzioni d'uso significativi;
- Stato Limite di Danno (SLD): a seguito del terremoto la costruzione nel suo complesso, includendo gli elementi strutturali, quelli non strutturali, le apparecchiature rilevanti alla sua funzione, subisce danni tali da non mettere a rischio gli utenti e da non compromettere significativamente la capacità di resistenza e di rigidezza nei confronti delle azioni verticali ed orizzontali, mantenendosi immediatamente utilizzabile pur nell'interruzione d'uso di parte delle apparecchiature.

  Gli stati limite ultimi sono:



- Stato Limite di salvaguardia della Vita (SLV): a seguito del terremoto la costruzione subisce rotture e crolli dei componenti non strutturali ed impiantistici e significativi danni dei componenti strutturali cui si associa una perdita significativa di rigidezza nei confronti delle azioni orizzontali; la costruzione conserva invece una parte della resistenza e rigidezza per azioni verticali e un margine di sicurezza nei confronti del collasso per azioni sismiche orizzontali;
- Stato Limite di prevenzione del Collasso (SLC): a seguito del terremoto la costruzione subisce gravi rotture e crolli dei componenti non strutturali ed impiantistici e danni molto gravi dei componenti strutturali; la costruzione conserva ancora un margine di sicurezza per azioni verticali ed un esiguo margine di sicurezza nei confronti del collasso per azioni orizzontali.

Le probabilità di superamento nel periodo di riferimento PVR, cui riferirsi per individuare l'azione sismica agente in ciascuno degli stati limite considerati, sono riportate nella successiva Tab. 3.2.I.

Tabella 3.2.I - Probabilità di superamento Pv, al variare dello stato limite considerato

#### **CATEGORIE DI SOTTOSUOLO**

Ai fini della identificazione della categoria di sottosuolo, la classificazione si effettua in base ai valori della velocità equivalente Vs,30 di propagazione delle onde di taglio (definita successivamente) entro i primi 30 m di profondità.

La misura diretta della velocità di propagazione delle onde di taglio è fortemente raccomandata. Nei casi in cui tale determinazione non sia disponibile, la classificazione può essere effettuata in base ai valori del numero equivalente di colpi della prova penetrometrica dinamica (Standard Penetration Test) NSPT,30 nei terreni prevalentemente a grana grossa e della resistenza non drenata equivalente cu,30 nei terreni prevalentemente a grana fina.

#### Tabella 3.2.II – Categorie di sottosuolo

A\_\_ Ammassi rocciosi affioranti o terreni molto rigidi caratterizzati da valori di Vs,30 superiori a 800 m/s, eventualmente comprendenti in superficie uno strato di alterazione, con spessore massimo pari a 3 m.

- **B**\_\_ Rocce tenere e depositi di terreni a grana grossa molto addensati o terreni a grana fina molto consistenti con spessori superiori a 30 m, caratterizzati da un graduale miglioramento delle proprietà meccaniche con la profondità e da valori di Vs,30 compresi tra 360 m/s e 800 m/s (ovvero NSPT,30 > 50 nei terreni a grana grossa e cu,30 > 250 kPa nei terreni a grana fina).
- C\_\_ Depositi di terreni a grana grossa mediamente addensati o terreni a grana fina mediamente consistenti con spessori superiori a 30 m, caratterizzati da un graduale miglioramento delle proprietà meccaniche con la profondità e da valori di Vs,30 compresi tra 180 m/s e 360 m/s (ovvero 15 < NSPT,30 < 50 nei terreni a grana grossa e 70 < cu,30 < 250 kPa nei terreni a grana fina).

D\_\_ Depositi di terreni a grana grossa scarsamente addensati o di terreni a grana fina scarsamente consistenti, con spessori superiori a 30 m, caratterizzati da un graduale miglioramento delle proprietà meccaniche con la profondità e da valori di Vs,30 inferiori a 180 m/s (ovvero NSPT,30 < 15 nei terreni a grana grossa e cu,30 < 70 kPa nei terreni a grana fina).

E\_\_ Terreni dei sottosuoli di tipo C o D per spessore non superiore a 20 m, posti sul substrato di riferimento (con Vs > 800 m/s).

#### **VALUTAZIONE DELL'AZIONE SISMICA, NTC 3.2.3**

Ai fini delle presenti norme l'azione sismica è caratterizzata da 3 componenti traslazionali, due orizzontali contrassegnate da X ed Y ed una verticale contrassegnata da Z, da considerare tra di loro indipendenti.

Per le opere e i sistemi geotecnici la componente verticale verrà considerata ove espressamente specificato (v. Cap. 7) e purché il sito nel quale la costruzione sorge non sia in Zone 3 e 4.

Le componenti possono essere descritte, in funzione del tipo di analisi adottata, mediante una delle seguenti rappresentazioni:

- accelerazione massima attesa in superficie;
- accelerazione massima e relativo spettro di risposta attesi in superficie;
- -accelerogramma.

Le due componenti ortogonali indipendenti che descrivono il moto orizzontale sono caratterizzate dallo stesso spettro di risposta o dalle due componenti accelerometriche orizzontali del moto sismico.

La componente che descrive il moto verticale è caratterizzata dal suo spettro di risposta o dalla componente accelerometrica verticale. In mancanza di documentata informazione specifica,

in via semplificata l'accelerazione massima e lo spettro di risposta della componente verticale attesa in superficie possono essere determinati sulla base dell'accelerazione massima e dello

spettro di risposta delle due componenti orizzontali. La componente accelerometrica verticale può essere correlata alle componenti accelerometriche orizzontali del moto sismico

#### 3.2.3.2 Spettro di risposta elastico in accelerazione

Lo spettro di risposta elastico in accelerazione è espresso da una forma spettrale (spettro normalizzato) riferita ad uno smorzamento convenzionale del 5%, moltiplicata per il valore della accelerazione orizzontale massima ag su sito di riferimento rigido orizzontale. Sia la forma spettrale che il valore di ag variano al variare della probabilità di superamento nel periodo di riferimento PVR (par. 2.4 e 3.2.1).

Gli spettri così definiti possono essere utilizzati per strutture con periodo fondamentale minore o uguale a 4,0 s. Per strutture con periodi fondamentali superiori lo spettro

deve essere definito da apposite analisi ovvero l'azione sismica deve essere descritta mediante accelerogrammi.

Analogamente si opera in presenza di sottosuoli di categoria S1 o S2.

Tabella 3.2.V – Espressioni di  $S_S$  e di  $C_C$ 

Categoria sottosuolo	Ss	Cc
A	1,00	1,00
В	$1,00 \le 1,40 - 0,40 \cdot F_o \cdot \frac{a_g}{g} \le 1,20$	$1,10\cdot(T_C^*)^{-0,20}$
C	$1,00 \le 1,70 - 0,60 \cdot F_o \cdot \frac{a_g}{g} \le 1,50$	$1,05 \cdot (T_C^*)^{-0,33}$
D	$0.90 \le 2.40 - 1.50 \cdot F_o \cdot \frac{a_g}{g} \le 1.80 \cdot$	$1,25\cdot (T_C^*)^{-0,50}$
E	$1,00 \le 2,00 - 1,10 \cdot F_o \cdot \frac{a_g}{g} \le 1,60$	$1,15 \cdot (T_C^*)^{-0,40}$

$$\begin{split} 0 &\leq T < T_B \\ S_e(T) &= a_g \cdot S \cdot \eta \cdot F_o \cdot \left[ \frac{T}{T_B} + \frac{1}{\eta \cdot F_o} \left( 1 - \frac{T}{T_B} \right) \right] \\ T_B &\leq T < T_C \\ S_e(T) &= a_g \cdot S \cdot \eta \cdot F_o \\ T_C &\leq T < T_D \\ S_e(T) &= a_g \cdot S \cdot \eta \cdot F_o \cdot \left( \frac{T_C}{T} \right) \\ T_D &\leq T \end{split}$$

T<sub>B</sub> il periodo corrispondente all'inizio del tratto dello spettro ad accelerazione costante,

$$T_{\rm B} = T_{\rm C}/3,$$

T<sub>C</sub> è il periodo corrispondente all'inizio del tratto a velocità costante dello spettro, dato da

$$T_C = C_C \cdot T_C^*,$$

T<sub>D</sub>: il periodo corrispondente all'inizio del tratto a spostamento costante dello spettro, espresso in secondi mediante la relazione:

$$T_D = 4.0 \cdot \frac{a_g}{g} + 1.6$$
. (3.2.9)

Tabella 3.2.VI - Valori massimi del coefficiente di amplificazione topografica ST

Categoria topografica	Ubicazione dell'opera o dell'intervento	$S_T$
TI		1.0
T2	In corrispondenza della sommità del pendio	1,2
T3	In corrispondenza della cresta del rilievo	1,2
T4	In corrispondenza della cresta del rilievo	1,4

#### ANALISI LINEARE O NON LINEARE, NTC 7.3.1

L'analisi delle strutture soggette ad azione sismica può essere lineare o non lineare.

#### **ANALISI LINEARE**

L'analisi lineare può essere utilizzata per calcolare gli effetti delle azioni sismiche sia nel caso di sistemi dissipativi sia nel caso di sistemi non dissipativi.

Quando si utilizza l'analisi lineare per sistemi non dissipativi, come avviene per gli stati limite di esercizio, gli effetti delle azioni sismiche sono calcolati, quale che sia la modellazione per esse utilizzata, riferendosi allo spettro di progetto ottenuto assumendo un fattore di struttura q unitario..

Quando si utilizza l'analisi lineare per sistemi dissipativi, come avviene per gli stati limite ultimi, gli effetti delle azioni sismiche sono calcolati, quale che sia la modellazione per esse utilizzata, riferendosi allo spettro di progetto ottenuto assumendo un fattore di struttura q maggiore dell'unità.

Il valore del fattore di struttura q da utilizzare per ciascuna direzione della azione sismica, dipende dalla tipologia strutturale, dal suo grado di iperstaticità e dai criteri di progettazione adottati e prende in conto le non linearità di materiale. Esso può essere calcolato tramite la seguente espressione:

$$q=q0 *KR$$
 (7.3.1)

dove:

qo è il valore massimo del fattore di struttura che dipende dal livello di duttilità attesa, dalla tipologia strutturale e dal rapporto  $\alpha u/\alpha 1$  tra il valore dell'azione sismica per il quale si verifica la formazione di un numero di cerniere plastiche tali da rendere la struttura labile e quello per il quale il primo elemento strutturale raggiunge la plasticizzazione a flessione;

KR è un fattore riduttivo che dipende dalle caratteristiche di regolarità in altezza della costruzione, con valore pari ad 1 per costruzioni regolari in altezza e pari a 0,8 per costruzioni non regolari in altezza. Per le costruzioni regolari in pianta, qualora non si proceda ad un'analisi non lineare finalizzata alla valutazione del rapporto  $\alpha u/\alpha 1$ , per esso possono essere adottati i valori indicati nei paragrafi successivi per le diverse tipologie costruttive.

Per le costruzioni non regolari in pianta, si possono adottare valori di  $\alpha u/\alpha 1$  pari alla media tra 1,0 ed i valori di volta in volta forniti per le diverse tipologie costruttive.

#### **FATTORI DI STRUTTURA, NTC 7.4.3.2**

Il fattore di struttura da utilizzare per ciascuna direzione della azione sismica orizzontale è calcolato come riportato nel § 7.3.1.

I massimi valori di  $q_0$  relativi alle diverse tipologie ed alle due classi di duttilità considerate (CD"A" e CD"B") sono contenuti nella tabella seguente.

Tabella 7.4.I - Valori di qo

Timelagia	q <sub>o</sub>				
Tipologia	CD"B"	CD"A"			
Strutture a telaio, a pareti accoppiate, miste	$3,0\alpha_{\rm u}/\alpha_{\rm 1}$	$4,5 \alpha_u/\alpha_1$			
Strutture a pareti non accoppiate	3,0	$4,0 \alpha_u/\alpha_1$			
Strutture deformabili torsionalmente	2,0	3,0			
Strutture a pendolo inverso	1,5	2,0			

Le strutture a pareti estese debolmente armate devono essere progettare in CD "B". Strutture aventi i telai resistenti all'azione sismica composti, anche in una sola delle direzioni principali, con travi a spessore devono essere progettate in CD"B" a meno che tali travi non si possano considerare elementi strutturali "secondari".

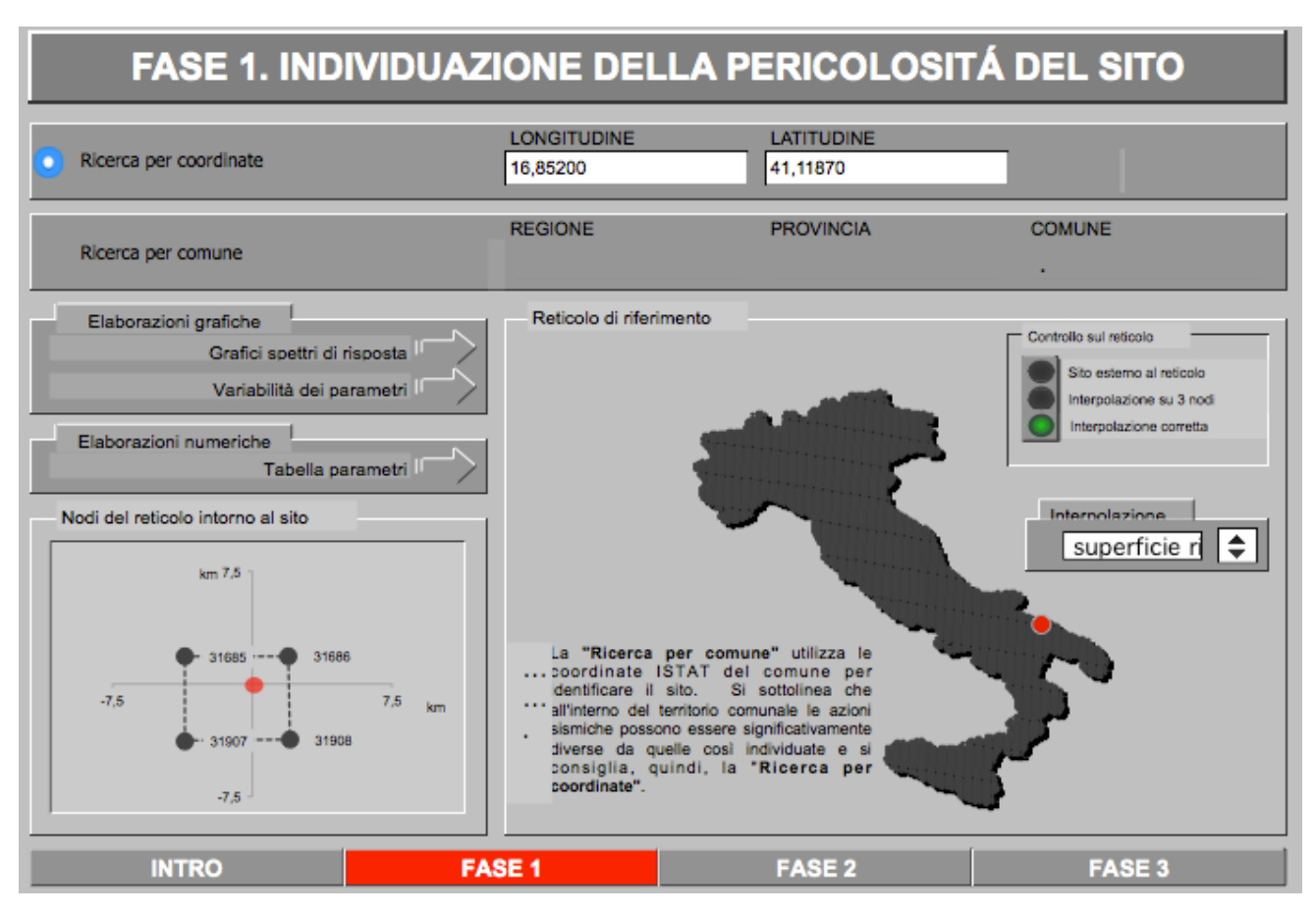
Per strutture regolari in pianta, possono essere adottati i seguenti valori di  $\alpha_u/\alpha_1$ :

a) Strutture a telaio o miste equivalenti a telai

-	strutture a telaio di un piano	$\alpha_{\rm u}/\alpha_1=1,1$
-	strutture a telaio con più piani ed una sola campata	$\alpha_{\rm u}/\alpha_1 = 1,2$
-	strutture a telaio con più piani e più campate	$\alpha_u/\alpha_1 = 1,3$
b)	Strutture a pareti o miste equivalenti a pareti	
-	strutture con solo due pareti non accoppiate per direzione orizzontale	$\alpha_{\rm u}/\alpha_1 = 1,0$
-	altre strutture a pareti non accoppiate	$\alpha_{\rm u}/\alpha_1 = 1,1$
-	strutture a pareti accoppiate o miste equivalenti a pareti	$\alpha_{\rm u}/\alpha_1 = 1,2$



#### **SPETTRO DI PROGETTO**



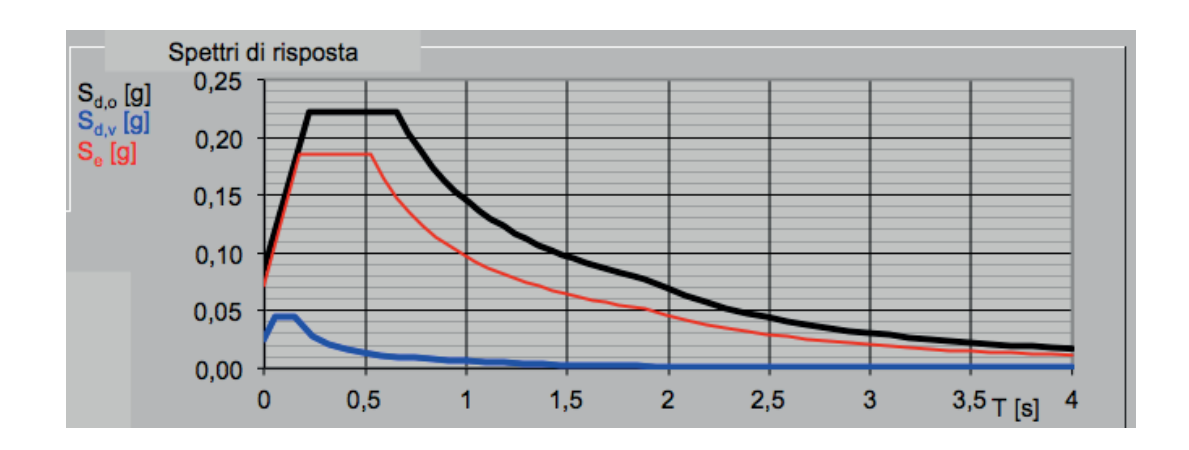


Parametri indipendenti

r aramour marpo	
STATO LIMITE	SLV
a <sub>g</sub>	0,071 g
F <sub>o</sub>	2,610
T <sub>c</sub> *	0,523 s
Ss	1,200
Cc	1,252
S <sub>⊤</sub>	1,000
q	1,000

Parametri dipendenti

S	1,200
η	1,000
T <sub>B</sub>	0,218 s
T <sub>C</sub>	0,655 s
T <sub>D</sub>	1,883 s



#### **CALCOLO DELLE MASSE SISMICHE, NTC 3.2.4**

Sommando i vari contributi calcolati nel paragrafo precedente, si ottiene l'aliquota di peso sismico afferente a ciascun piano.

Per ciascun livello, le masse sismiche si calcolano dai pesi sismici dividendoli per l'accelerazione di gravita q = 9.81 m/s2.

Le masse associate agli spostamenti lungo X e Y sono ovviamente uguali, mentre la massa associata al grado di liberta rotazionale e data dal prodotto delle masse per il quadrato del raggio di inerzia.

$$M_{\rho} = M \rho^2$$

Tali quantita sono assegnate direttamente al baricentro del relativo livello, coerentemente con l'ipotesi di impalcato infinitamente rigido.

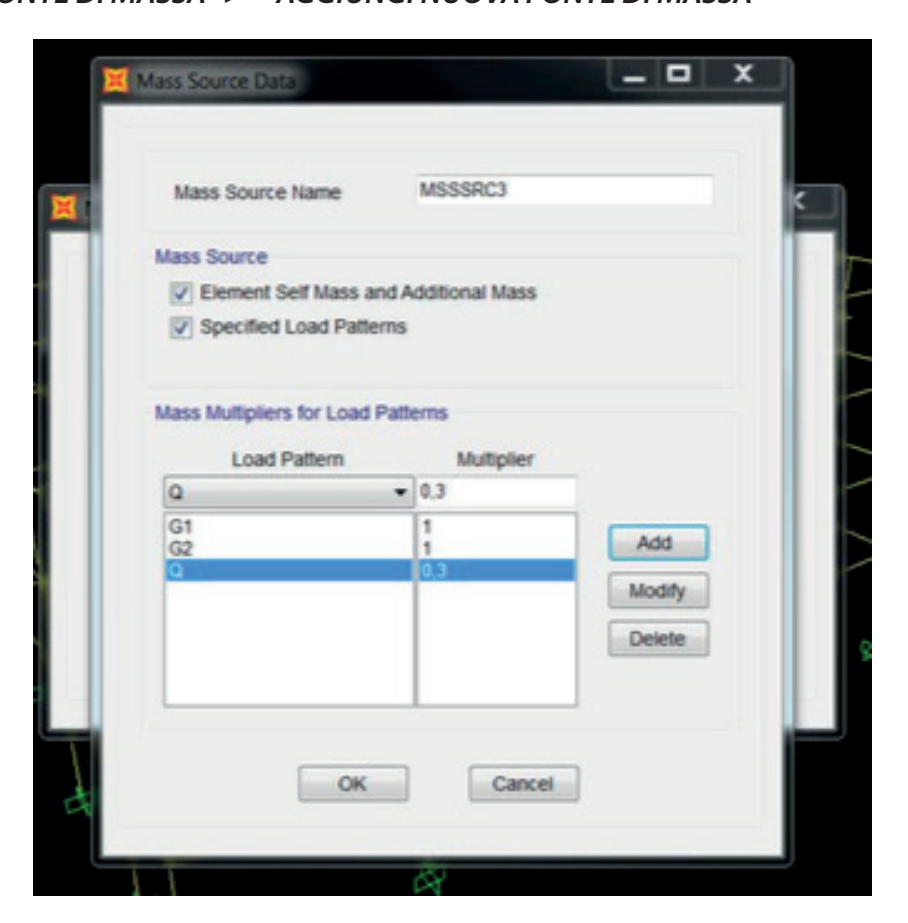
Il raggio di inerzia è calcolato assumendo tutte le masse spalmate uniformemente sulla superficie dell'edificio, la quale è assunta rettangolare :

 $\rho = \sqrt{\frac{a^2 + b^2}{12}}$ 

con a e b dimensioni della proiezione verticale dell'edificio.

Come ho definito le masse sismiche in SAP 2000?

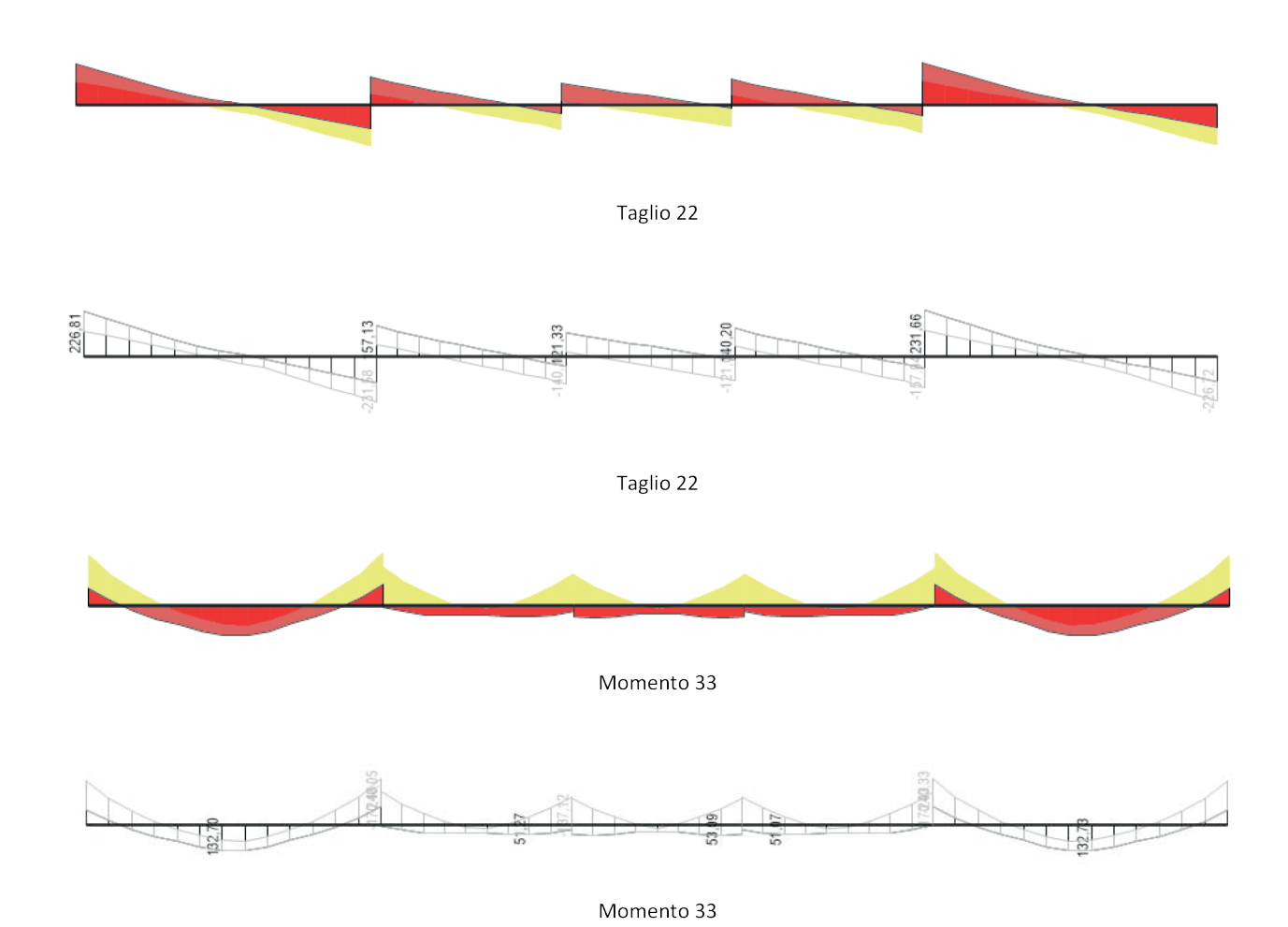
DEFINISCI -> FONTE DI MASSA -> AGGIUNGI NUOVA FONTE DI MASSA

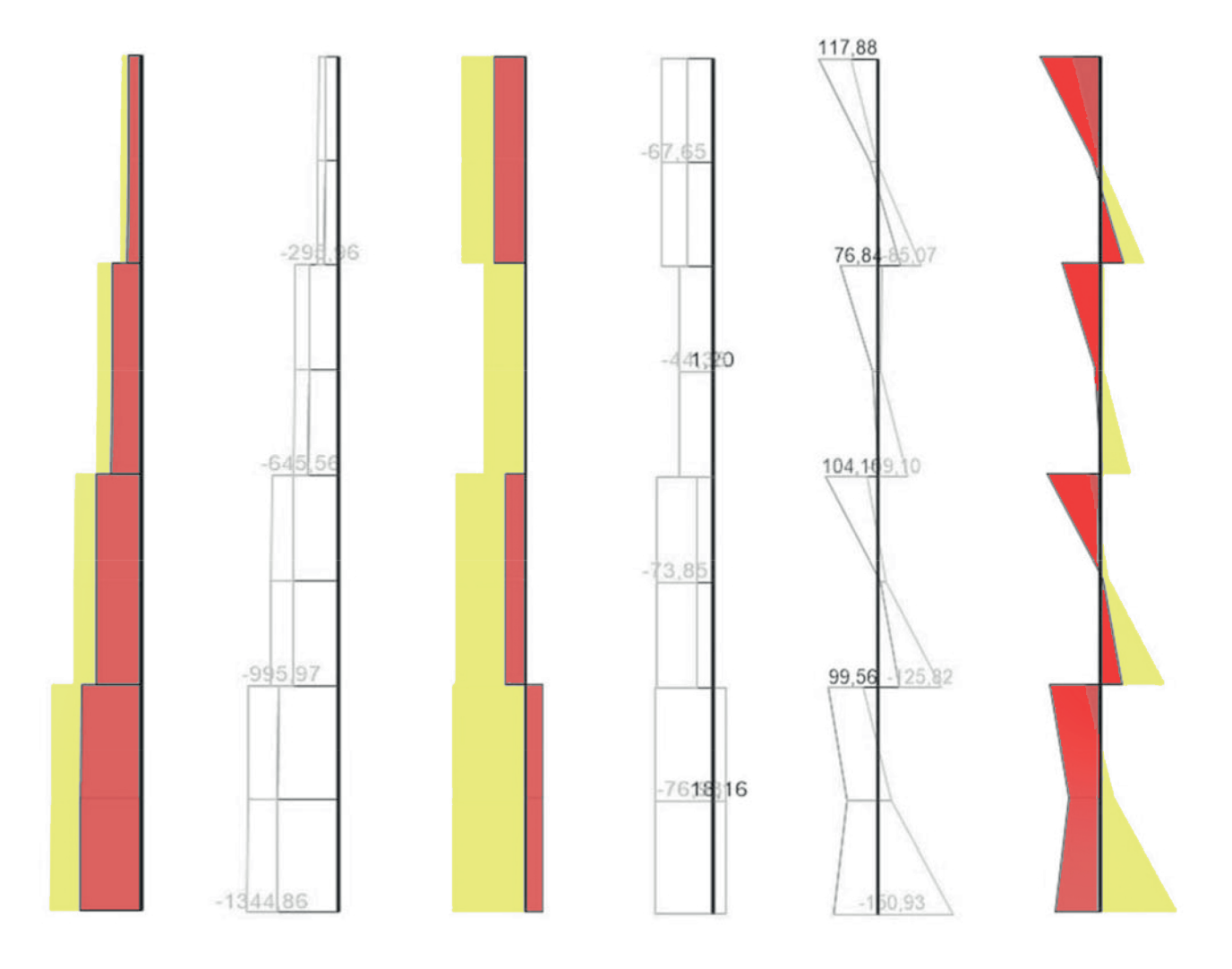


## **5 – RISULTATO ANALISI STATICA LINEARE**

Dal modello implementato nel software SAP 2000 elaboriamo le caratteristiche della sollecitazione, prendendo in esame il telaio più sollecitato dell'intera struttura, di cui riportiamo la seguente immagine.

# 5.1 Sollecitazioni inviluppo combinazioni





Sforzo Normale P Taglio22 Momento 33

#### ANALISI LINEARE DINAMICA, NTC 7.3.3.1.

L'analisi dinamica lineare consiste:

- nella determinazione dei modi di vibrare della costruzione (analisi modale),
- nel calcolo degli effetti dell'azione sismica, rappresentata dallo spettro di risposta di progetto, per ciascuno dei modi di vibrare individuati,
- nella combinazione di questi effetti.

Devono essere considerati tutti i modi con massa partecipante significativa. È opportuno a tal riguardo considerare tutti i modi con massa partecipante superiore al 5% e comunque un numero di modi la cui massa partecipante totale sia superiore all'85%.

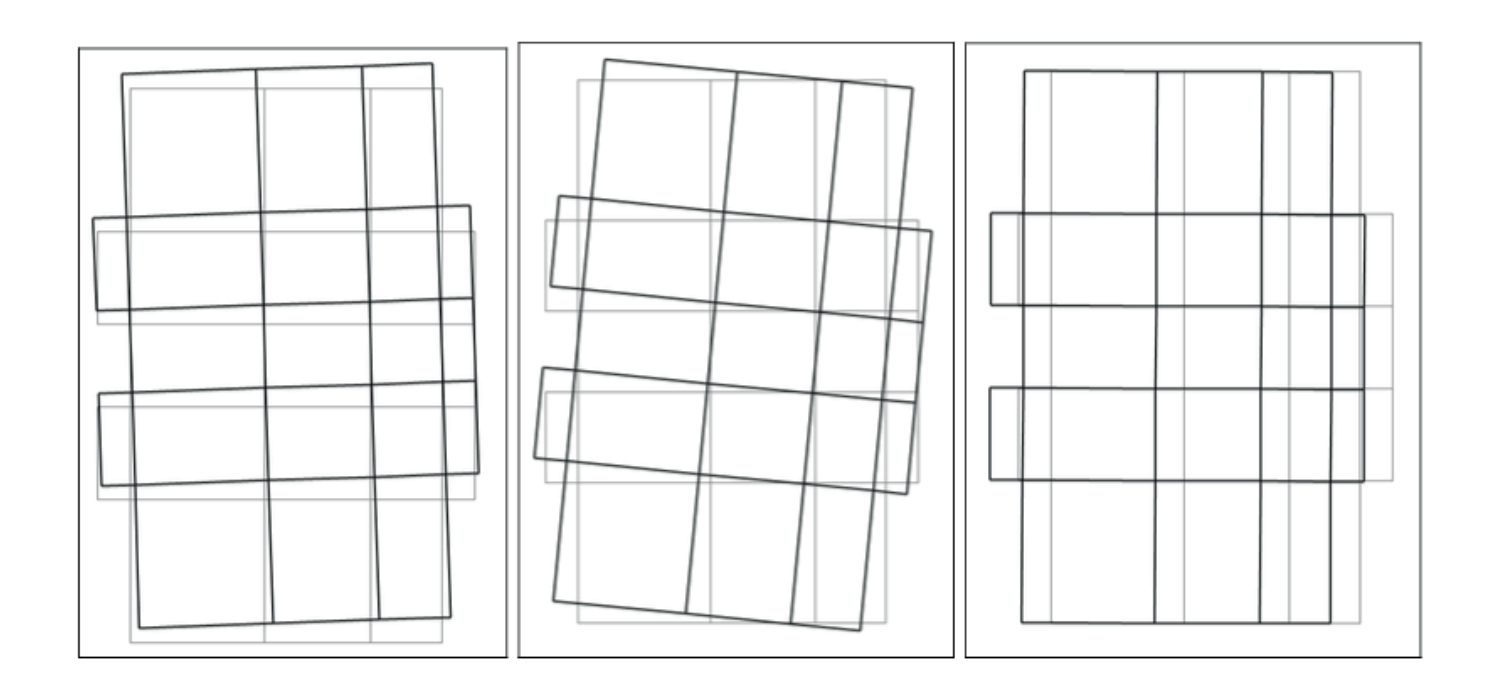
Per la combinazione degli effetti relativi ai singoli modi deve essere utilizzata una combinazione quadratica completa degli effetti relativi a ciascun modo, quale quella indicata nell'espressione (7.3.3):

$$E = (\sum\nolimits_j \sum\nolimits_i {\rho _{ij} \cdot E_i \cdot E_j } )^{1/2}$$

con:

- Ej valore dell'effetto relativo al modo j;
- pij coefficiente di correlazione tra il modo i e il modo j, calcolato con formule di comprovata validità

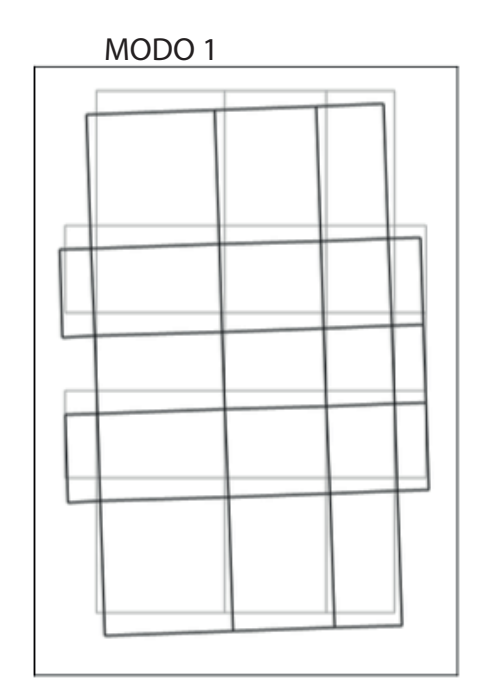
#### **AJDHAKJDHKASJ**

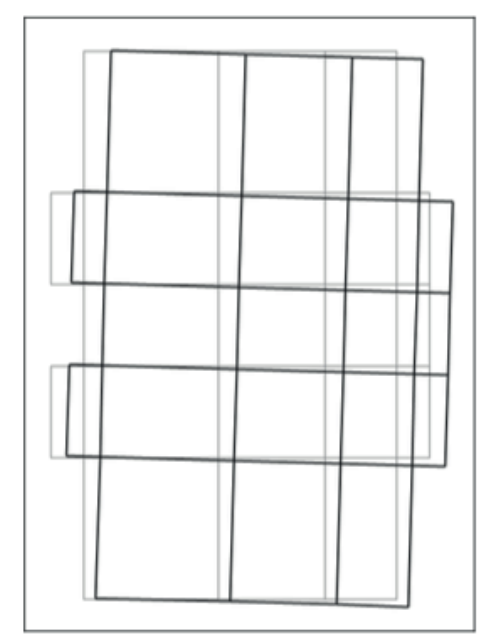


#### 6 - RISULTATO ANALISI STATICA DINAMICA

## 6.1 Analisi modi di vibrare

#### Vista XY





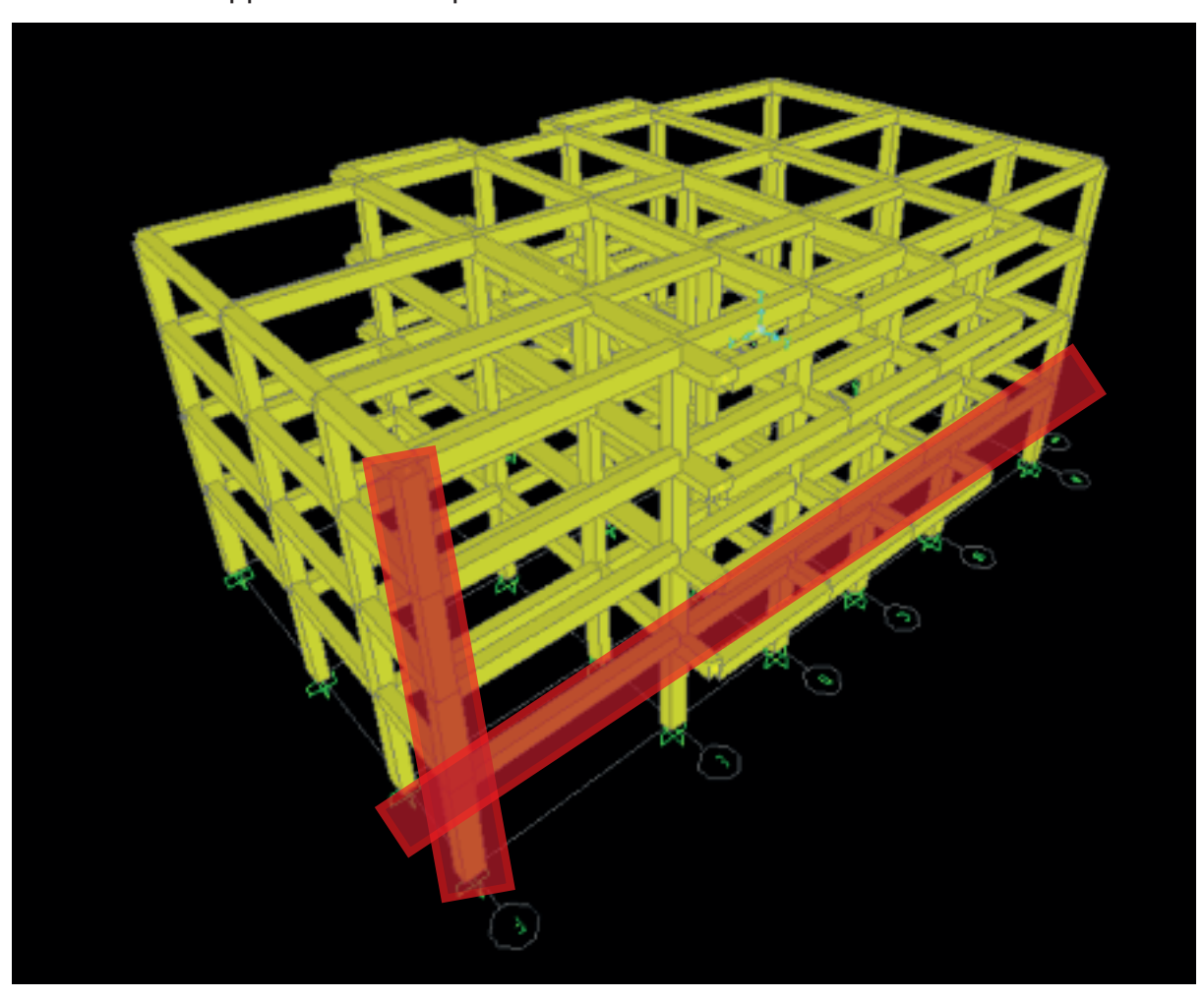
#### RISULTATI DELL'ANALISI LINEARE DINAMICA

#### MODI DI VIBRARE

MODO 1 T= 0.511261 MODO 2 T= 0.461967 MODO 3 T= 0.442549 MODO 4 T= 0.179120 MODO 5 T= 0.168538

# **7\_VERIFICHE DI RESISTENZA**

Le verifiche degli elementi strutturali travi, pilastri e nodi sono state effettuate allo SLV. In particolare è stato condotto il progetto di una travata del primo livello e di una pilastrata e la verifica di un nodo appartenente alla pilastrata in esame :

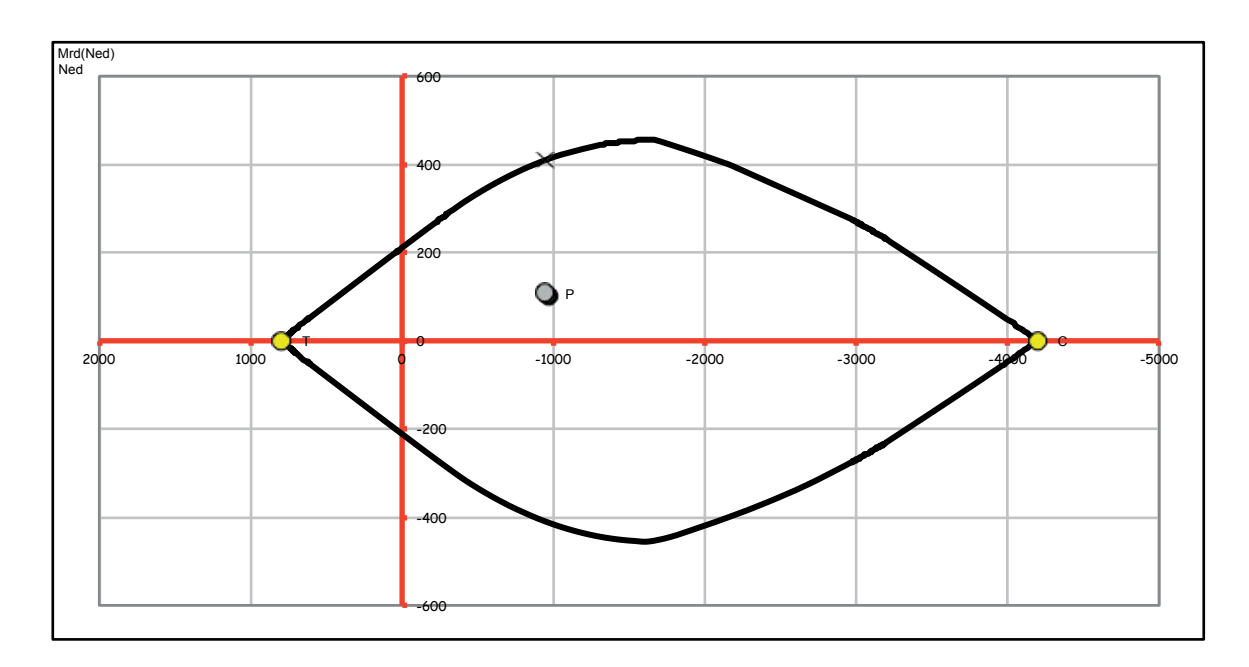


	sezione							Ne	d	10	- 11	20	21
В	Н	c	Afinf	Afsup		fcd	fyd	[kN]	[N]]	Ns_rd	Ms_rd	Nc_rd	Mc_rd
[mm]	[mm]	[mm]	[mm <sup>2</sup> ]	[mm <sup>2</sup> ]		[MPa]	[MPa]	-945,0	-945000	[kN]	[kN*m]	[kN]	[kN*m]
400	600	40	1018	1018		14,17	391,30	Ned(+) t	razione	796,70	0,00	-4197,50	0,00

	Mrd(+) per Nrd=0- Flessione semplice positiva - fibre inferiori tese							Mrd(+) per Nrd=0- Flessione semplice positiva - fibre inferiori tese Mrd(+) per Nrd=Ned - flessione positiva - fibre inferiori tese								
30	31	32	33	34	35	36	37	50	51	52	53	54	55	56	57	
Mrd	xc		e.s	S.S	e.c	s.c	φu	Mrd	xc		e.s	S.S	e.c	s.c	φu	
[kN*m]	[mm]	Campo	[‰]	[MPa]	[‰]	[MPa]	[m <sup>-1</sup> ]	[kN*m]	[mm]	Campo	[‰]	[MPa]	[‰]	[MPa]	[m <sup>-1</sup> ]	
211.53	51.24	3	34.751	391.30	-3,500	-14.17	0.0683	409.68	205.96	3	6.016	391.30	-3.500	-14.17	0.0170	

	Mrd(-) per Nrd=0- Flessione semplice negativa - fibre superiori tese						Mrd(-) per Nrd=0- Flessione semplice negativa - fibre superiori tese Mrd(-) per Nrd=Ned - flessione negativa - fibre superiori tese									
40	41	42	43	44	45	46	47	60	61	62	63	64	65	66	67	
Mrd	xc		e.s	S.S	e.c	s.c	φu	Mrd	xc		e.s	S.S	e.c	s.c	φu	
[kN*m]	[mm]	Campo	[‰]	[MPa]	[‰]	[MPa]	[m <sup>-1</sup> ]	[kN*m]	[mm]	Campo	[‰]	[MPa]	[‰]	[MPa]	[m <sup>-1</sup> ]	
-211.53	51.24	- 8	34.751	391.30	-3.500	-14.17	-0.068	-409.68	205.96	8	6.016	391.30	-3.500	-14.17	-0.0170	

Punto sollecitante									
Ned	Med								
[kN]	[kN*m]								
-945,0	108,0								
verifica	Si								



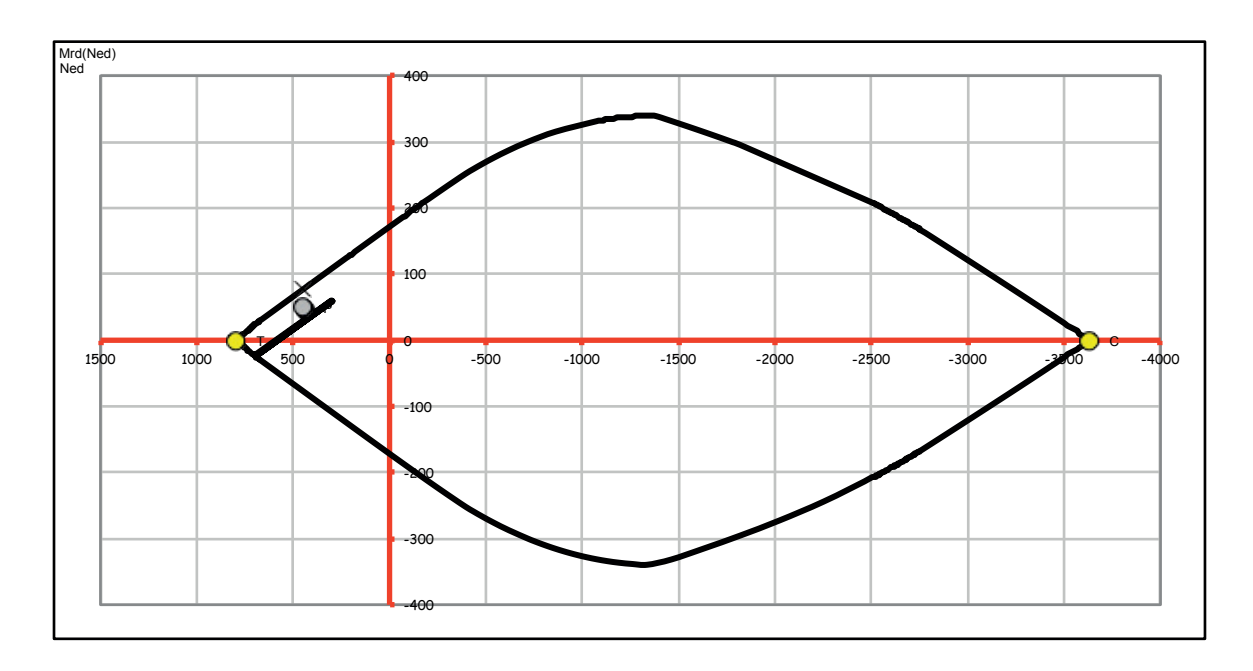


sezione					Ne	d	10	- 11	20	21		
В	Н	С	Afinf	Afsup	fcd	fyd	[kN]	[N]]	Ns_rd	Ms_rd	Nc_rd	Mc_rd
[mm]	[mm]	[mm]	[mm <sup>2</sup> ]	[mm <sup>2</sup> ]	[MPa]	[MPa]	447,6	447580	[kN]	[kN*m]	[kN]	[kN*m]
400	500	40	1018	1018	 14,17	391,30	Ned(+) t	razione	796,70	0,00	-3630,70	0,00

Mrd(+) per Nrd=0- Flessione semplice positiva - fibre inferiori tese						Mrd(+) per Nrd=Ned - flessione positiva - fibre inferiori tese									
30	30 31 32 33 34 35 36 37				50	51	52	53	54	55	56	57			
Mrd	xc		e.s	S.S	e.c	s.c	φu	Mrd	xc		e.s	S.S	e.c	s.c	φu
[kN*m]	[mm]	Campo	[‰]	[MPa]	[‰]	[MPa]	[m <sup>-1</sup> ]	[kN*m]	[mm]	Campo	[‰]	[MPa]	[‰]	[MPa]	[m <sup>-1</sup> ]
171 69	51.18	3	27 960	391 30	-3 500	-14 17	0.0684	77.21	31.75	3	47 214	391 30	-3 500	-14 17	0.1102

Mrd(-) per Nrd=0- Flessione semplice negativa - fibre superiori tese					Mrd(-) per Nrd=Ned - flessione negativa - fibre superiori tese										
40	41	42	43	44	45	46	47	60	61	62	63	64	65	66	67
Mrd	xc		e.s	S.S	e.c	s.c	φu	Mrd	xc		e.s	S.S	e.c	s.c	φu
[kN*m]	[mm]	Campo	[‰]	[MPa]	[‰]	[MPa]	[m <sup>-1</sup> ]	[kN*m]	[mm]	Campo	[‰]	[MPa]	[‰]	[MPa]	[m <sup>-1</sup> ]
-171,69	51,18	8	27,960	391,30	-3,500	-14,17	-0,068	-77,21	31,75	8	47,214	391,30	-3,500	-14,17	-0,1102

Punto sollecitante						
Ned	Med					
[kN]	[kN*m]					
447,6	49,2					
verifica	Si					



N Frame	Sezione	ARMATURA INF	ARMATURA SUP	Nedmax	Nrd	Med	Mrd Ridotto 30%	ESITO
/	cm	mm	mm	kN	kN	kN	kN	/
21	40x60	4ø18	4ø18	-945,06	-2113,00	-108,02	286,79	VERIFICATO
21	4000	4ø18	4ø18	-343,00	2115,00	-100,02	200,79	VERIFICATO
48	40×60	40x60 4ø18	4ø18	-694,99	-2113,00	58,32	260,26	VERIFICATO
40	+0,000	4ø18	4ø18	054,55	-2113,00	30,32	200,20	VERIFICATO
69	40x50	4ø18	4ø18	-447,58	-802,73	49,2	182,7	VERIFICATO
03	4000	4ø18	4ø18	-447,50	-002,73	73,2	102,7	VERIFICATO
93	40x50	4ø18	4ø18	-196,99	-802,73	44,22	148,68	VERIFICATO
93	40x50	4ø18	4ø18	-190,99	-002,73	44,22	140,00	VERIFICATO

Tabella riepilogo verifica pressione pilastrata

# 7.8. Verifiche gerarchia delle resistenze flessione pilastro gerarchia delle resistenze

Per ciascuna direzione e ciascun verso di applicazione delle azioni sismiche, si devono proteggere i pilastri dalla plasticizzazione prematura adottando opportuni momenti flettenti di calcolo; tale condizione si consegue qualora, per ogni nodo trave-pilastro ed ogni direzione e verso dell'azione sismica, la resistenza complessiva dei pilastri sia maggiore della resistenza complessiva delle travi amplificata del coefficiente Rd, in accordo con la formula.

N Frame Trave	Sezione	Med	Mbrd	N Frame Trave	Med	Mbrd
/	cm	kNm	kNm	/	kNm	kNm
130	40x50	189,28	207,98	112	102,39	128,99
156	40x50	183,88	207,98	144	105,29	128,99
182	40x50	183,88	207,98	170	93,89	128,99
244	40x50	158,25	170,73	244	55,41	66,09

Momenti sollecitanti e Momenti resistenti delle travi collegate alla pilastrata

N Frame Pilastro	Sezione	ARMATURA INF	ARMATURA SUP	Mbrd	Mcrd
/	cm	mm	mm	kNm	kNm
48	40x60	4ø18	4ø18	370,67	-547,05
40	40,000	4ø18	4ø18	370,07	-347,03

Verifica del pilastro (Frame 48)